

## (1) 分析操作

試料1~2gをNiルツボに採り、 $\text{Na}_2\text{O}_2$  10~20gを加え約800°Cで溶融する。冷却後、温水約100ml中に融塊をルツボごと入れ内容物を溶解する。ルツボを取り出したのち、約2mn煮沸して過剰の $\text{Na}_2\text{O}_2$ を分解する。冷却後溶液を沈澱とともに200ml、メスフラスコへ入れ、標線まで水を加える。これを乾燥ロ紙でロ過し、ロ液についてCrの多い場合は430mμ、Crの少ない場合は370mμの波長を用いて吸光度を測定し、予め作製してある検量線iより $\text{Cr}_2\text{O}_3$ 量を求める。

なお、Sを吸光光度法で定量した場合は、その残りの溶液から上記と同様に吸光度を測定し、 $\text{Cr}_2\text{O}_3$ を定量してもよい。

i) 検量線の作製：なるべく $\text{Cr}_2\text{O}_3$ 含有量の少ない塩基性鋼滓試料1gをとり、本文の操作と同様に処理し融塊を温水で溶解したのち、Cr標準液の種々の量(試料中の $\text{Cr}_2\text{O}_3$ 量との合計が0.5~2.0%の範囲となるようにする)を加え、ふたたび本文の操作にしたがつて処理し吸光度を測定し、検量線を作製する。

## (2) 分析結果

本法によつて塩基性鋼滓中の $\text{Cr}_2\text{O}_3$ を定量した結果をTable 2に示す。

Table 2. Determination of  $\text{Cr}_2\text{O}_3$  in basic slags.

Sample	Recommended method $\text{Cr}_2\text{O}_3$ (%)	Volumetric method $\text{Cr}_2\text{O}_3$ (%)
Basic O. H. slag 1	1.34 1.37 1.35	1.33
Basic O. H. slag 2	1.81 1.80 1.80	1.85

IV.  $\text{V}_2\text{O}_5$  の定量

$\text{V}_2\text{O}_5$ は $\text{Cr}_2\text{O}_3$ を定量したあとの残りの溶液から、著者の考案した $\alpha$ -ピリジル- $\beta$ -アゾナフトール(PAN)による吸光光度法によつて定量する。その分析操作の概要是つぎのごとくである。

乾燥ロ紙でロ過したロ液から10mlを分取し、 $\text{HClO}_4$ で中和したのち3ml過剰に加える。これに $(\text{NH}_4)_2\text{S}_2\text{O}_8$ 溶液(20%)10ml、アセトン10ml、サリチル酸アセトニ溶液(0.1%)および酢酸アンモニウム溶液(50%)5mlを加える。pHを3.0~3.5に調節しPAN溶液(0.05%)3mlを加えて、溶液を50mlメスフラスコへ入れ標線まで水を加える。5mn後560mμの波長に

おける吸光度を測定する。

なお、分析例の表示は省略するが、従来の方法に比して遜色のない良好な結果が得られた。

## (105) 凝縮気化法による鋼中酸素定量法の研究

住友金属工業、钢管製造所

工〇田上 豊助・井上 俊輔  
Determination of Oxygen in Steel by Condensation-Vaporization Method.

Toyosuke Tanoue, Syunsuke Inoue.

## I. 緒言

真空熔融法による鉄鋼の酸素分析の簡易化、迅速化を計るためいろいろの方法について調査検討したが、定量法としては抽出ガスの排気系路の途中に加熱した $\text{CuO}$ 管、 $\text{P}_2\text{O}_5$ 管および冷却トラップを配列し、抽出したCOガスを $\text{CuO}$ により $\text{CO}_2$ に変えて冷却トラップに捕捉し、一定容積の真空中に気化させて圧力を測定する方法が最も合理的であろうと考えられたので、試験装置を製作して分析条件について実験を行なつた。

## II. 装置の概要

装置の配列および抽出ガスの排気過程における変化をFig. 1(省略)に示す。

この方法による定量の際の必要条件としては、

(1) 抽出ガス中のCOが $\text{CuO}$ 管を唯一回通過する間に完全に $\text{CO}_2$ 変化すること。

(2) 抽出ガス中の $\text{H}_2$ は $\text{CuO}$ 管を通過することにより一部は水蒸気に変化するが、これが $\text{P}_2\text{O}_5$ 管に吸収捕捉されること。

(3)  $\text{CO}_2$ が冷却トラップにより完全に凝縮捕捉されること。

などが考えられる。このうち(2)と(3)の反応は低圧のガスにおいては極めて迅速に進行することが知られているので、最も問題と考えられる(1)の条件、すなわちCOを $\text{CO}_2$ に $\text{CuO}$ により変化せしめる条件について、あらかじめ基礎的実験を行なつた。

III.  $\text{CuO}$ によるCOの酸化に関する実験

$\text{CuO}$ によるCOの酸化には $\text{CuO}$ の酸化能と $\text{CuO}$ 層の長さが重要因子であると考えられるので、内径40mm、長さ600mmの大型の $\text{CuO}$ 管を製作し、メルクの針状酸化銅を $\text{H}_2$ と $\text{O}_2$ により活性化処理したもの

を 1200 g 封入して試験に使用した。

CuO の使用温度を検討するため、CuO の温度を室温より 450°C までいろいろ変化させ、装置に種々の量の CO を導入して捕捉された CO<sub>2</sub> の量を定量し、CO の酸化率を測定した。

試験装置の概要を Fig. 2 (省略) に示す。CO は硫酸に蟻酸を滴下させて製造し、冷却トラップで精製した。定量装置は CuO 管、P<sub>2</sub>O<sub>5</sub> 管、冷却トラップ、測圧計、拡散ポンプを連結したものである。CO<sub>2</sub>を凝縮させる冷却剤には液体窒素を使用した。

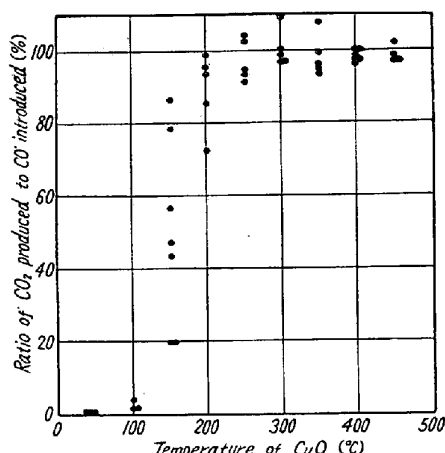


Fig. 3. Influence of temperature of CuO upon oxidation of CO.

実験結果を Fig. 3 に示す。表に見られるごとく CuO の温度 32°C および 100°C においては CO はほとんど酸化されず、CO<sub>2</sub> として捕捉されなかつた。150°C においては 19~87% (平均 50.1%) が CO<sub>2</sub> として捕捉された。酸化率にバラツキがあるがこれは CuO 温度の測定位置 (管の外面) と管内の CuO との温度のずれによるものと考えられる。200°C では 72% 以上 (平均 88.9%) が CO<sub>2</sub> に酸化されており、250°C では 91% 以上 (平均 97.2%)、300°C 以上ではほとんど 100% が酸化されている。硬質硝子製の CuO 管は 450°C までは温度に耐えるので、400°C を使用温度にすれば CuO 管を急熱して温度を上げ中の CuO が低い場合 (>300°C) でも CO の酸化は完全に行われる。

#### IV. 実際試料の分析結果

以上の実験の結果、CO の酸化ならびに捕捉を完全に実施し得ることが判明したので Fig. 4 に示すような分析装置を組立てて実際試料の分析を行なつた。熔解炉には管状黒鉛抵抗真空炉を使用した。

##### (1) 分析値の再現性の検討

3 種の試料を 5 回ずつ分析して定量値を比較した。その結果を Table 1 に示す。各試料ともに再現性はほぼ

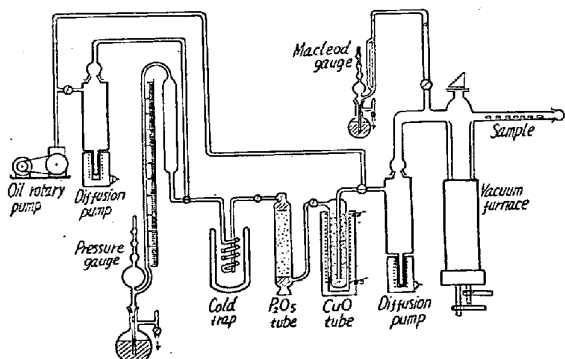


Fig. 4. Oxygen analysis apparatus.

Table 1. Results of reproducibility test.

Samples		Analytical results	
Mark	Steel	0 %	Mean %
A	Medium carbon steel	0.0059	0.0058
		0.0063	
		0.0056	
		0.0059	
		0.0055	
B	Stainless steel	0.0150	0.0146
		0.0153	
		0.0153	
		0.0137	
		0.0149	
C	Stainless steel	0.0240	0.0239
		0.0245	
		0.0235	
		0.0237	
		0.0239	

満足すべき結果であつた。

##### (2) スプレンゲル・オルザット法との比較

20 数種の試料について本法とスプレンゲル・オルザット法との比較分析を行なつた。結果を Fig. 5 に示す。

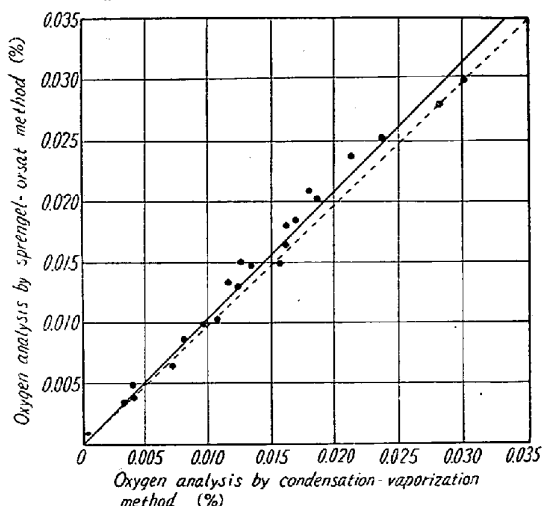


Fig. 5. Comparison of analytical results obtained by condensation-vaporization method with those obtained by Sprengel-Orsat method.

ほぼ一致した結果が見られたが、分析値がスプレンギル・オルザット法に比してわずかに低い試料が多かつた。この原因としては  $\text{CO}_2$  として抽出される一部の  $\text{O}_2$  が  $\text{CO}$  と同時に捕捉され、 $\text{CO}$  として計算定量されるので、 $\text{CO}_2$  として抽出される  $\text{O}_2$  の 2 分の 1 だけ分析値が低値を示すことは分析法の原理上避けざることと考えられる。しかしながら  $\text{CO}_2$  として抽出される  $\text{O}_2$  は微量であり、かつ抽出ガス中の  $\text{CO}$  と  $\text{CO}_2$  の比は各種の試料についてほぼ一定であるから、補正を行えば実用上信頼し得る定量値を得ることが可能である。

## V. 結 言

鉄鋼中酸素の迅速簡易分析法として、抽出ガスの排気過程に CuO 管、冷却トラップを配置し、CO<sub>2</sub> として捕捉した酸素を一定容積の真空中に気化させて圧力を測定して定量する装置を組立てて試験した。CO<sub>2</sub> として抽出される酸素量を補正することにより、簡単な装置と簡易な操作により酸素量を定量し得ることを確認した。本方式の分析法は装置、操作が簡単であるため、操作の自動制御化が容易であると考えられる。また水銀の露出面がないので作業者の衛生に好適であると考えられる。現在装置の自動制御について試験を進めている。

(106) 鋼浴の水素分析用試料の真空採取法について

日本製鋼所、窒蘭製作所研究所

理博 前川 静弥・○中川 義隆  
Study on the Vacuum Method of  
Taking a Sample for Determination of  
Hydrogen in Molten steel.

Shizuya Maekawa, Yoshitaka Nakagawa.

## I. 緒 言

鋼材中の水素がその品質に大きな影響を与え、鋼材欠陥の主要原因の一つとなつてゐることは周知の通りである。したがつて鋼材中の水素量を低減するため従来各種の方法が研究考案されている。たとえば精錬過程での鋼浴の酸化沸騰、不活性ガスの吹込、造塊過程では真空鉄込、爾後の工程では長時間にわたる脱水素熱処理などを実施している。

しかし鋼浴または鋼材中の水素量を適確に把握するためにはなお分析試料の採取法に多くの難点を有し、これら各種低減法の効果の確認等が正確に行われ得ない場合が多い実情である。とくに鋼浴中の試料採取法には多く

の方法が提案されているが何れも確実といいい得ない。

本報においては筆者らの考案した銅浴中水素分析用試料の真空採取法と、この方法によつて採取した試料の定量値とについて述べる。

## II. 真空採取法

銅浴中の水素量測定のための試料採取法は従来多数発表されているがこれらは「鋸込法」と「吸引法」とに大別される。しかしいずれも汲出時、鋸込時、鋸型内の凝固時、分析試料調製中および分析実施までの試料保存中等の各段階における水素の逸出を完全に阻止することはできない。よつて筆者らは試料採取時における水素逸出防止について種々実験を行ない次の方法を確立した。

### i) 採取法の概要

銅浴中の酸素分析用試料の真空採取法（鋼と鋼，44（1958），p. 754～760）に用いた不透明石英管を若干改良して、これを酸素の場合と全く同様に操作し、試料を炉内銅浴より直接採取した。

## ii) 真空採取器の構造

採取器は吸引管部分と採取用具に区分され、前者は吸引管、保護用石英管よりもなる。採取用具は浸漬式温度計に用いるものとほとんど同形である。吸引管部分の細部を Fig. 1 に示す。またこれの採取用具への取付法は酸素の場合と同様なので省略する。

### iii) 摺取要領

#### 吸引管を保護管に詰め

これを採取用具に取付け、平炉の試料採取窓より炉内に挿入し、ただちに鋼浴中に浸漬する。（深さ鋼浴表面下5~10 cm）5~15 s そのまま保持後、採取用具を引き上げ炉外に取出す。その後可及的速やかに吸引管部分を採取用具より外し、吸引管の上端を持つて保護管より抜き取り、その尖端を直ちに水銀中へ没入する。

#### iv) 分析操作

水銀中に尖端を浸漬せるまま分析装置に吸引管上端を接続し、吸引管内部のガスを装置内に導入分析し、しかる後吸引管を破碎し内部の固体試料を取り出してその全量を分析に供する。分析は真空加熱法（学振法）によつて実施した。

### III. 真空採取法と他の方法との比較

### (1) 実驗室的比較